

# 論 説 報 告

第28卷 第2號 昭和17年2月

## 調 壓 水 槽 襲 波 作 用 の 計 算 に 就 て

正会員 高 畑 政 信\*

**要旨** 所要の精度を保つ範囲内で時間と労力の節減を計るため所々に近似式を活用して襲波作用の計算を行つたもので、特に數値積分法に就ては新公式の利用を創めたものである。尙実験に基く數値は J. Frank und J. Schüller の著書を参考として求めたものである。

### 目 次

- |   |  |
|---|--|
| 1. 制水孔に於ける損失水頭<br>1. 普通制水孔<br>2. 特殊制水孔<br>2. 制水孔調壓水槽<br>1. 負荷遮断條件 | 2. 負荷を變化する場合の計算式<br>3. 差動調壓水槽<br>1. 設計上の注意事項<br>2. 負荷増加の場合の計算式<br>3. 負荷遮断の場合の計算式 |
|---|--|

### 1. 制水孔に於ける損失水頭

#### 1. 普通制水孔

普通制水孔と言ふのは 図-1, 2 に示す様に最も普通に用ひられてゐる形式である。

##### (1) 水槽へ流入する場合

損失水頭  $k$  及び  $k'$  は (1), (2) 式に依つて求める。(1), (2) 式は屈折、断面の變化等を考慮して求められたものである。

$$k = \frac{v_a^2 - v^2}{2g} - \frac{u(v_a - u)}{g} + (\zeta_a - 1) \cdot \frac{v^2}{2g} + h_r \quad \dots \dots \dots \quad (1)$$

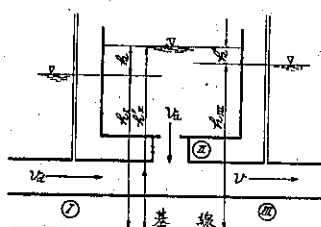
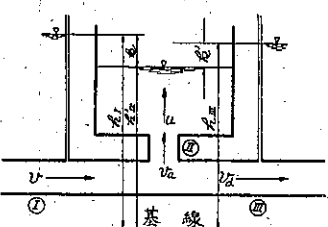
$v_a$ : 制水孔内の流速,  $u$ : 水槽内の流速,  $\zeta_a$ : 表-1 から求められる係数,  $v$ : 分流前の水路内の流速,

$h_r$ : 制水孔に於ける摩擦損失水頭

$$k' = \frac{v_a^2 - v^2}{2g} - \frac{u(v_a - u)}{g} + (\zeta_a - \zeta_d) \cdot \frac{v^2}{2g} + h_r \quad \dots \dots \dots \quad (2)$$

図-1. 普通制水孔 水槽へ流入する場合

図-2. 普通制水孔 水槽より流出する場合



\* 工學士 電氣廳技師 電氣廳第二部水力課



水孔の直径,  $d$ : 水路の直径,  $f_a$ : 制水孔の断面積,  $f$ : 水路の断面積, ( ) 内のものは推測値, — は殆ど 0 と考へられる値

## 2. 特殊制水孔

特殊制水孔と言ふのは 図-3, 4 に示したもので制水孔内部に更に圓環を入れたものである。

圖-3. 特殊制水孔 水槽へ流入する場合

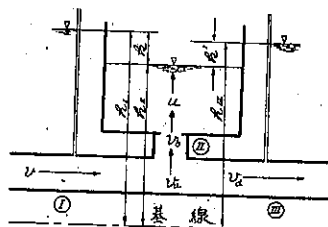
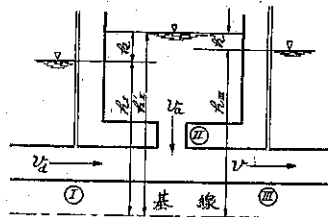


圖-4. 特殊制水孔 水槽より流出する場合



### (i) 水槽へ流入する場合

$$k = \frac{v_b^2 - 2u(v_b - u)}{2g} + (\zeta_a - 1) \cdot \frac{v^2}{2g} + h_r \quad \dots \dots \dots \quad (5)$$

$v_b = Q_a/0.62f_b$ : 圓環部の流速,  $Q_a$ : 制水孔内の流量,  $f_b$ : 圓環の断面積,  $u$ : 水槽内の流速,  $\zeta_a$ : 表-1 から求められる係数,  $v$ : 分流前の水路内の流速,  $h_r$ : 制水孔に於ける摩擦損失水頭,

$$k' = \frac{v_b^2 - v_a^2}{2g} + \frac{2u(v_b - u)}{g} + (\zeta_a - \zeta_d) \cdot \frac{v^2}{2g} + h_r \quad \dots \dots \dots \quad (6)$$

$v_a$ : 分流後の水路内の流速,  $\zeta_d$ : 表-1 から求められる係数

### (ii) 水槽から流出する場合

$$k = \frac{v_a^2}{2g} + \xi_s \cdot \frac{v_a^2}{2g} + (\zeta_a - \zeta_d) \cdot \frac{v^2}{2g} + h_r \quad \dots \dots \dots \quad (7)$$

$v_a$ : 合流前の水路内の流速,  $\xi_s$ : 表-4, 5 から求められる係数,  $v_a$ : 制水孔内の流速,  $\zeta_a, \zeta_d$ : 表-3 から求められる係数,  $v$ : 合流後の水路内の流速,  $h_r$ : 制水孔に於ける摩擦損失水頭

$$k' = \xi_s \cdot \frac{v_a^2}{2g} + (\zeta_a + 1) \cdot \frac{v^2}{2g} + h_r \quad \dots \dots \dots \quad (8)$$

表-4. 特殊急縮係数 ( $F > f_a$ )  $k = \xi_s \cdot \frac{v_a^2}{2g}$

$f_b/f_a$	0.1	0.2	0.3	0.4	0.5	0.6	0.7	0.8	0.9	1.0
$\mu$	0.616	0.614	0.612	0.610	0.607	0.605	0.603	0.601	0.598	0.596
$\xi_s$	231.7	50.99	19.78	9.61	5.26	3.08	1.88	1.17	0.73	0.48

$F$ : 水槽の断面積,  $f_a$ : 制水孔の断面積,  $h$ : 損失水頭,  $\xi_s$ : 急縮係数,  $v_a$ : 制水孔内の流速,  $f_b$ : 圆環の断面積,  $\mu$ : 縮流係数,  $\mu$  と  $\xi_s$  との関係は  $\xi_s = \left( \frac{f_a}{\mu f_b} - 1 \right)^2$  で表される。

表-5. 特殊急縮係数 ( $F=f_a$ )  $k = \xi_s \cdot \frac{v_a^2}{2g}$

$f_b/f_a$	0.1	0.2	0.3	0.4	0.5	0.6	0.7	0.8	0.9	1.0
$\mu$	0.624	0.632	0.643	0.659	0.681	0.712	0.755	0.813	0.892	1.000
$\xi_s$	225.9	47.77	17.51	7.80	3.75	1.80	0.80	0.29	0.06	0.00

襲波作用の實際計算に當つては上述の各種の俌數の中で最大使用水量  $Q_0$  に對して損失水頭  $k_0$  を算出し其の他の  $Q_a$  に對しては  $k = k_0(Q_a/Q_0)^2$  と見做すのである。

普通制水孔では表-1 及び表-3 の中で  $Q_a/Q=1.0$  の俌數を用ひればよい事は言ふ迄もないが  $f_a/f$  の値は種々であるから算定が困難になる(特殊制水孔では大體  $f_a/f=1.0$  に選ぶから計算は容易である)。  $Q_a/Q=1.0$  の場合の  $\xi_a$  の値は 3 個、  $\zeta_a$  の値は 2 個あつて、  $\xi_a$  は  $\zeta_a$  に較べて小さいから直線的變化をなすものと見做し、  $\xi_a$  は 3 點を通る曲線上にあるものとして次の(9)及び(10)式を作つた。

$$\left. \begin{array}{l} \xi_a = -3.211 + 4.332 \left( \frac{f}{f_{a,s}} \right) + 0.159 \left( \frac{f}{f_a} \right)^2 \\ \zeta_a = 0.274 + 0.076 \left( \frac{f_a}{f} \right) \end{array} \right\} \quad \dots \dots \dots \dots \dots \dots \dots \quad (9)$$

$$\left. \begin{array}{l} \xi_a = 2.287 - 2.935 \left( \frac{f}{f_a} \right) + 1.558 \left( \frac{f}{f_a} \right)^2 \\ \zeta_a = 1.96 - 1.36 \left( \frac{f_a}{f} \right) \end{array} \right\} \quad \dots \dots \dots \dots \dots \dots \dots \quad (10)$$

[例 1] 下記の場合に於ける普通制水孔の最大損失水頭  $k_0$  を求む。

$Q_0=24 \text{ m}^3/\text{sec}$ : 最大使用水量,  $f=8 \text{ m}^2$ : 圧力隧道の流積,  $f_a=4 \text{ m}^2$ : 制水孔断面積,  $F=100 \text{ m}^2$ : 水槽の断面積

(i) 水槽へ流入する場合

(1) 及び(9)式に於て  $v=v_0=24/8=3 \text{ m/sec}$ ,  $v_a=24/4=6 \text{ m/sec}$ ,  $u=24/100=0.24 \text{ m/sec}$ ,  $f/f_a=8/4=2$ ,  $f_a/f=4/8=0.5$ ,  $\xi_a=-3.211+4.332\times 2+0.159\times 2^2=6.089$ ,  $h_r=0$  とする

$$k_0 = \frac{6^2}{2 \times 9.8} - \frac{0.24(6-0.24)}{9.8} + (6.089-1) \times \frac{3^2}{2 \times 9.8} = 4.033 \text{ m}$$

(ii) 水槽より流出する場合

(3), (10)式及び表-2 に於て  $v_a=0$ ,  $v_a=6 \text{ m/sec}$ ,  $\xi_a=2.649$ ,  $\zeta_a=1.280$ ,  $v=v_0=3 \text{ m/sec}$ ,  $h_r=0$ ,  $f_a/F=0.04$ ,  $\xi=0.477$  が得られるから

$$k_0 = 0.477 \times \frac{6^2}{2 \times 9.8} + (2.649-1.280) \times \frac{3^2}{2 \times 9.8} = 1.505 \text{ m}$$

[例 2] 例 1. と同様の場合に特殊制水孔とすると如何。但し  $f_a=f=8 \text{ m}^2$ ,  $f_b=4 \text{ m}^2$  とする。

(i) 水槽へ流入する場合

$$(5) \text{ 式に依り } k_0 = \frac{9.677^2}{2 \times 9.8} - \frac{2 \times 0.24(9.677-0.24)}{9.8} + (1.28-1) \times \frac{3^2}{2 \times 9.8} = 4.445 \text{ m}$$

(ii) 水槽から流出する場合

$$(7) \text{ 式に依り } k_0 = 5.26 \times \frac{3^2}{2 \times 9.8} + (0.91-0.60) \times \frac{3^2}{2 \times 9.8} = 2.558 \text{ m}$$

[例 3] 例 1, 2 の場合の流入, 流出俌數を求む。

(i) 普通制水孔

例 1. に依ると  $k_0$  は夫々 4.033 m 及び 1.505 m であるから俌數  $\gamma$  を  $Q_0=\gamma\sqrt{2gh}$  から求めると夫々 2.699 及び 4.419 となり,  $\gamma/f_a$  は夫々 0.675 及び 1.105 になる。

(ii) 特殊制水孔

上と同様にして  $\gamma$  は 2.571 及び 3.389,  $\gamma/f_b$  は 0.643 及び 0.847 になる。

## 2. 制水孔調圧水槽

### 1. 負荷遮断条件

負荷を遮断した場合の水位及び壓力の変化は 図-5 の様である。制水孔調圧水槽では  $l_0 < h_0 + |Z_{\max}|$  の範囲内に選ぶのが普通である。

最高襲波を惹起する負荷遮断の條件は 図-6 の利用によつて簡単に分る。 $\epsilon > 4$  の範囲では最大負荷を遮断する時に最高襲波を生ずるが  $\epsilon \leq 4$  に於ては次の係数を算出して 図-6 から遮断すべき部分負荷に對応する使用使量  $Q_0'$  を求める。

$\eta$ : 制水係数,  $k_0$ : 制水孔の最大損失水頭,  $h_0$ : 最大使用水量に對する導水路内の損失水頭,  $\epsilon$ : 調圧水槽係数,  $l$ : 導水路の長さ,  $f$ : 導水路の流積,  $v_0$ : 最大使用水量に對する流速,  $F$ : 水槽断面積,  $Z_{\max}$ : 最高襲波高,  $Q_0$ : 最大使用水量,  $Q_0'$ : 部分使用水量

図-5. 負荷遮断の際の水位と壓力

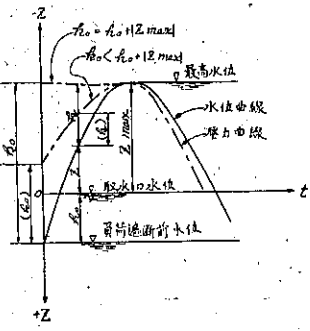
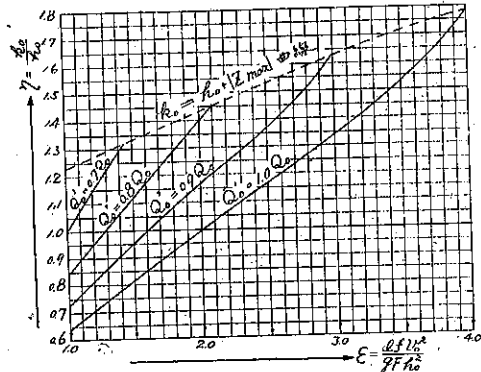


図-6. 制水孔調圧水槽負荷遮断條件



即ち  $\eta$  と  $\epsilon$  が分ると 図-6 から  $Q_0'$  が求められるのである。

[例 4]  $k_0 = 7 \text{ m}$ ,  $h_0 = 5 \text{ m}$ ,  $l = 2940 \text{ m}$ ,  $f = 20 \text{ m}$ ,  $v_0 = 2.5 \text{ m/sec}$ ,  $F = 600 \text{ m}^2$  として負荷遮断條件を求む。

$\eta = \frac{k_0}{h_0} = 1.4$ ,  $\epsilon = \frac{l f v_0^2}{g F h_0^2} = 2.5$  となるから 図-6 に依つて  $Q_0' = 0.89 Q_0$  即ち  $v_0' = 2.5 \times 0.89 = 2.225 \text{ m/sec}$  を遮断すると最高襲波を起すことが分る。

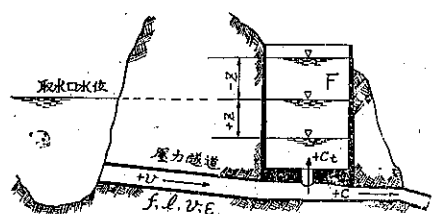
### 2. 負荷を變化する場合の計算式

$$\frac{dZ}{dt} = \frac{f}{F}(c - v), \quad \frac{dv}{dt} = \frac{g}{l}(Z + k - h),$$

$$k = \pm \frac{k_0}{v_0^2}(c - v)^n, \quad h = \pm \alpha v^2 \dots \dots \dots (11)$$

$Z$ : 取水口水位を基準とする水槽水位で下を正の方向とする,  
 $f$ : 導水路の流積,  $F$ : 水槽断面積,  $c$ : 水壓管路内流量を  $f$  で割つたもの,  $v$ : 導水路内の流速,  $l$ : 導水路の長さ,  $k$ : 制水孔に因る損失水頭で  $c - v$  と同符号にする,  $k_0$ : 最大流速  $v_0$  に就て求められる損失水頭,  $h$ : 導水路内の損失水頭で負荷増加の場合には粗度係数を  $n = 0.016$ , 負荷減少の場合には  $n = 0.013$  とし此の他に取水口等の損失水頭をも見込んで算定し,  $v$  と同符号にする,  $\alpha$ : 損失係数  
 括て數値計算に於ては從來時間間隔を小さくとつた Runge の積分方法が最も多く用ひられてゐる。Runge の

図-7. 制水孔調圧水槽



方法では積分値の近似度が悪いから時間間隔は場合に依つては 0.1 sec 位にとらないと満足出来ない事になる。此の場合に注意せねばならぬのは時間間隔を小さくすると同時に小数以下の有效数字の桁数も増さないと精度をよくすることが出来ない事である。即ち時間間隔を 0.5 sec, 小数以下の有效数字を 5 桁位にとつて計算せねばならぬ場合が相當多くなる。此の計算は非常に大きな労力と時間を費す結果になるから次善案としては時間間隔を少しだけ大きくして Runge-Kutta の方法を用ひることが考へられる。此の方法は最も正確であり望ましいのではあるが労力と時間の節約には殆んど役立たない。

吾々の計算に於ては厳密な精度は必要でないから上記の様な方法に依るよりも次に示す (12) 式の活用に依つて充分目的が達せられる。

$\frac{dy}{dx} = f(x, y)$  を積分する場合に  $x$  の増分  $h$  に対する  $y$  の増分  $k$  を

$$\begin{aligned} k_1 &= f(x, y) \cdot h, & k_2 &= f\left(x + \frac{h}{2}, y + \frac{k_1}{2}\right) \cdot h, \\ k_3 &= f(x + h, y + k_2) \cdot h, & k &= \frac{k_1 + n k_2 + k_3}{n+2}, \quad n=1 \sim 4 \end{aligned} \quad \dots \dots \dots \quad (12)$$

から求める。調壓水槽の計算では  $n=2$  とするのが好い様であるが (12) 式の一般的な證明は次の様になる。

$\frac{dy}{dx} = f(x, y)$  を積分して  $y = F(x)$  が得られたものとし,  $F(x+h)$  を展開して  $h^4$  以上の項を省略すると

$$y + k_0 = F(x+h) = y + hF'(x) + \frac{h^2}{2}F''(x) + \frac{h^3}{6}F'''(x) + \frac{h^4}{24}F''''(x)$$

となる。今  $D(f) = \frac{\partial f}{\partial x} + f \frac{\partial f}{\partial y}$ ,  $D^2(f) = \frac{\partial^2 f}{\partial x^2} + 2f \frac{\partial^2 f}{\partial x \partial y} + f^2 \frac{\partial^2 f}{\partial y^2}$  の様な記号を用ひると

$F'(x) = f$ ,  $F''(x) = D(f)$ ,  $F'''(x) = D^2(f) + f_y D(f)$ ,  $F''''(x) = D^3(f) + f_{yy} D^2(f) + f_{y^2} D(f) + 3D(f)D(f_y)$  となるから

Runge-Kutta の公式に依る  $k$  は上記展開式から

$$k_0 = hf + \frac{h^2}{2}[D^2(f) + f_y D(f)] + \frac{h^3}{24}[D^3(f) + f_{yy} D^2(f) + f_{y^2} D(f) + 3D(f)D(f_y)]$$

の形に書ける。全く同様にして  $k_1$ ,  $k_2$  及び  $k_3$  を求めると

$$k_1 = hf, \quad k_2 = hf + \frac{h^2}{2}D(f) + \frac{h^3}{8}D^2(f) + \frac{h^4}{48}D^3(f),$$

$$k_3 = hf + h^2D(f) + \frac{h^3}{2}[D^2(f) + f_y D(f)] + \frac{h^4}{24}[4D^3(f) + 3f_{yy} D^2(f) + 12D(f)D(f_y)]$$

が得られる。之等の値を (12) 式に代入すると  $h^2$  の項までは完全に合ふが  $h^3$  の項でどうしても差が出来る。故に  $h^3$  の項までを考へて  $h^4$  の項を省けば  $k_0$  と  $k$  との差  $\delta$  は

$$\delta = k_0 - k = k_0 - \frac{k_1 + n k_2 + k_3}{n+2} = \frac{h^3}{24(n+2)}[(n-4)D^2(f) + 4(n-1)f_y D(f)]$$

になる。此の  $\delta$  は Runge-Kutta の方法と (12) 式の方法の差を略示するものと考へられる。 $f_y = 0$  即ち  $f(x, y)$  が  $x$  のみの函数であると  $n=4$  とすると  $\delta=0$  になり、尙  $h^4$  の項まで計算しても全く差のない事が分る。

$f_y \neq 0$  の場合は  $(n-4)D^2(f) + 4(n-1)f_y D(f)$  の値が最小になる様に  $n$  を定めればよいわけである。函数形が解り、其の變域も或る範囲内に限られてゐると上記の判定式で  $n$  を定めることが出来る。調壓水槽では此の判定は困難であるが Runge-Kutta の方法と比較したり、 $h$  を小さくとつたりして種々計算の結果  $n=2$  として計算するのが最もよいと考へられるから以下の計算例では總て  $n=2$  とした。

制水孔調圧水槽では水位変化が緩慢であるから時間間隔  $dt$  は 5 sec 又は 10 sec でよいから  $Z_{\max}$  は一般に中間値として別に算出する必要がある。之には  $dt$  を 1 sec 又は 0.5 sec に選んで局部的に求めるのも一方法ではあるが、2 mm や 3 mm の差は顧慮する必要がないから其の附近の曲線を 2 次式と假定して算出した (13) 式を用ひて簡単に求められる。

$$Z_{\max} = Z_2 + \frac{(Z_3 - Z_1)^2}{8(2Z_3 - Z_2 - Z_1)} \quad \dots \dots \dots (13)$$

$Z_1, Z_2, Z_3$  は此の順に同一時間間隔に列んである  $Z$  の數値で  $Z_2$  と  $Z_3$  の間で  $Z_{\max}$  が生ずる様にするのが普通である。

【例 5】  $\frac{f}{F} = 0.08, \frac{g}{l} = 0.005, \frac{k_0}{v_0^2} = 0.8, \alpha = 0.4, v_0 = 2.4$  として負荷遮断の場合を計算せよ。  
 $k_0 = 0.8 \times 2.4^2 = 4.608, h_0 = 0.4 \times 2.4^2 = 2.304, \eta = \frac{4.608}{2.304} = 2, e = \frac{0.08 \times 2.4^2}{0.005 \times 2.304} = 17.4$  となるから 図-6 から最大流速  $v_0 = 2.4$  を遮断すると最高襲波を生ずることが分る。

(i) 瞬間に遮断した場合

(11) 式を次の様に書き直して計算するのが便利である。

$$dt = 10 \text{ sec}, dZ = 0.8(c-v), dv = h_1 + h_2 - h_3, h_1 = 0.05 Z, h_2 = \pm 0.04(c-v)^2,$$

$$h_3 = \pm 0.02 v^2, k = \pm 0.8(c-v)^2$$

便宜上時間間隔  $dt = At$  に對應する  $Z$  及

び  $v$  の増分は (12) 式に準じて次々  $dZ$  及  
び  $dv$  より  $AZ$  及び  $Av$  として算出した  
(表-6)。

$$Z_1 = -5.830, Z_2 = -6.050, Z_3 = -6.026$$

であるから

$$Z_{\max} = -6.050 - \frac{(6.026 - 5.830)^2}{8(2 \times 6.050 - 6.026 - 5.830)}$$

$$= -6.050 - 0.020 = -6.070$$

が得られる。

(ii) 遮断時間を 20 sec とした場合

一様に減速するものと假定して計算し  
た (表-7)。

$$Z_{\max} = -6.165 - \frac{(6.135 - 5.947)^2}{8(2 \times 6.165 - 6.135 - 5.947)}$$

$$= -6.183$$

$$[例 6] \frac{f}{F} = 0.08, \frac{g}{l} = 0.005, \frac{k_0}{v_0^2} = 0.5,$$

$\alpha = 0.5, v_0 = 2.4$ , として負荷増  
加の場合を計算せよ。

(i) 無負荷より 3/4 負荷に急増した場  
合

表-6.

t	c	v	$\frac{dZ}{dt(c-v)}$	$\Delta Z$	$Z$	$\frac{\dot{h}_1}{0.05Z}$	$\frac{\dot{h}_2}{\pm 0.04(c-v)^2}$	$\frac{\dot{h}_3}{\pm 0.02v^2}$	$\frac{dv}{dt(h_1 - h_3)}$	$\Delta v$	$\frac{\ddot{h}_2}{\pm 0.8(c-v)^2}$
0	0.000	2.400	-1.220	-	2.304	0.015	-0.030	0.015	-0.230	-	-4.608
10	-	2.185	-1.228	1.804	0.0067	-0.0209	0.004	-0.0246	-	-	
10	-	2.150	-1.233	-1.825	0.0076	0.024	-0.056	0.093	-0.255	-0.044	-
10	-	2.156	-1.225	-	0.079	-0.019	-	-0.055	0.082	-0.266	-3.119
20	-	2.028	-1.222	-	-0.084	-	-	-	-0.266	-0.265	-
20	-	1.970	-1.222	-1.623	-0.143	-0.057	-0.143	0.071	-0.271	-	
70	-	0.027	-0.342	-	-0.030	-0.0292	-0.007	0.004	-0.303	-	-0.146
70	-	0.025	-0.220	-	-0.001	-0.000	-0.003	0.002	-0.305	-	
80	-	0.122	-0.098	-	-0.020	-0.050	-0.003	-0.001	0.000	-0.304	-0.304
80	-	0.123	-	-	-0.099	-0.0305	-0.000	-	-0.305	-	-0.017
90	-	0.029	0.023	-	-0.023	-0.027	-0.001	-0.001	-0.299	-0.303	-
90	-	0.022	0.046	-	0.024	-0.0301	-0.001	-0.001	-	-	0.026

表-7.

t	c	v	$\frac{dv}{dt(c-v)}$	$\Delta Z$	$Z$	$\frac{\dot{h}_1}{0.05Z}$	$\frac{\dot{h}_2}{\pm 0.04(c-v)^2}$	$\frac{\dot{h}_3}{\pm 0.02v^2}$	$\frac{dv}{dt(h_1 - h_3)}$	$\Delta v$	$\frac{\ddot{h}_2}{\pm 0.8(c-v)^2}$
0	2.400	2.400	0.000	-	2.304	0.015	0.000	0.015	0.000	-	0.000
10	1.980	-	-0.060	-	1.804	-0.014	-	-0.014	-	-	
10	1.938	-	-0.049	-0.047	1.824	0.091	-0.056	0.114	-0.079	-0.027	-
10	-	2.373	-0.938	-	1.827	-	-0.055	0.113	-0.077	-	-1.101
20	0.660	2.334	-1.387	-	1.558	0.068	-0.120	0.094	-0.161	-	
20	0.000	2.212	-1.770	-0.371	0.640	0.022	-0.076	0.078	-0.272	-0.163	-
20	-	2.205	-1.764	-	0.456	0.023	-0.194	0.097	-0.268	-	-3.890
20	-	2.071	-1.657	-	-0.026	-0.021	-0.172	0.068	-0.279	-	
20	-	1.928	-1.541	-	-1.201	-0.049	-0.148	0.074	-0.282	-0.277	-
80	-	0.026	-0.341	-	-0.597	-0.297	-0.007	0.004	-0.308	-	-0.145
80	-	0.022	-0.228	-	-0.618	-0.305	-0.003	0.001	-0.310	-	
90	-	0.116	-0.073	-	-0.618	-0.305	-0.001	0.000	-0.309	-0.309	-
90	-	0.117	-0.094	-	-	-	-	-	-	-	-0.011
100	-	-0.038	0.030	-	-0.422	-0.311	-0.000	-	-0.311	-	
100	-	-0.094	0.155	-	-0.030	-0.155	-0.307	0.002	-0.304	-0.307	-
100	-	-0.192	-	-	-0.635	-	-	-	-	-	0.029

$$v_0' = 2.4 \times \frac{3}{4} = 1.8, \quad k_0' = 0.5 \times 1.8^2 = 1.620,$$

$$h_0' = 0.6 \times 1.8^2 = 1.944, \quad k_0 = 0.5 \times 2.4^2$$

$$= 2.860,$$

$$h_0 = 0.6 \times 2.4^2 = 3.456$$

負荷は瞬間に変化するものと見做す  
(表-8)。

$$Z_{\max} = 6.534 + \frac{(6.474 - 6.406)^2}{8(2 \times 6.534 - 6.474 - 6.406)} = 6.537$$

$$= 6.537$$

### (ii) 無負荷より 3/4 負荷に漸増した場合

負荷は 10 sec 每に 3/40 宛 10 段に亘り切つてかけるものと假定して計算した。區切りないで滑かに増加する場合も略同様に計算出来ることは自明の事である (表-9)。

$$Z_{\max} = 5.979 + \frac{(5.899 - 5.897)^2}{8(2 \times 5.979 - 5.899 - 5.897)} = 5.979$$

### (iii) 1/2 負荷より全負荷に急増した場合 (表-10)。

$$Z_{\max} = 5.811 + \frac{(5.802 - 5.719)^2}{8.2 \times 5.811 - 5.802 - 5.719} = 5.820$$

以上に示した例 5 及び 6 は同一水槽に就て考へたものであるから之等を一括して圖-8 に示した。之等は何れも  $Z_{\max}$  までの計算に留めたのであるが次位の  $Z_{\max}$  まで計算するとしても全く同様に計算出来て而かも相當に精度がよい。之までは制水孔のある場合ばかりを考へたのであるが單側調壓水槽なら  $k=0$  即ち  $h_0=0$  とすればよいので一層簡単であるし、溢流のある場合には次に述べる差側調壓水槽のライザーからの溢流を参考にすると之亦容易に計算が出来る。

表-8.

$t$	$c$	$v$	$\frac{dz}{dt} = \frac{dz}{0.8(C-V)}$	$\alpha z$	$Z$	$\frac{h_1}{h_0} = \frac{0.052}{0.023097}$	$\frac{h_2}{h_0} = \frac{0.052}{0.023097}$	$\frac{h_3}{h_0} = \frac{0.052}{0.023097}$	$\frac{dv}{dt} = \frac{dv}{h_0 h_1 h_2}$	$\alpha v$	$\frac{d^2v}{dt^2} = \frac{d^2v}{h_0^2 h_1^2 h_2^2}$
0	1800	0.000	1440		0.000	0.000	0.081	0.000	0.081	0.000	1620
-	0.001	1407	1407	0.000	0.070	0.036	0.077	0.071	0.113	0.113	
10	-	0.113	1350	1401	0.070	0.070	0.070	0.071	0.141	0.112	
10	-	0.112			1401						
-	0.083	1294			2076	0.004	0.065	0.001	0.168		1425
20	-	0.204	1216	1209	0.035	0.050	0.002	0.191	0.191	0.167	
70	-	1515	0.228		6406	0.320	0.002	0.069	0.253		0.041
-	1612	0.226			6520	0.326	0.001	0.081	0.246		
80	-	1761	0.231	0.228	6552	0.327	0.000	0.093	0.234	0.225	
80	-	1789	0.032		6534						0.004
-	1877	-0.062			6550	0.328		0.106	0.222		
90	-	1882	-0.145	-0.080	6472	0.324	-0.001	0.116	0.205	0.221	
90	-	1881			6474						-0.016

表-9.

$t$	$c$	$v$	$\frac{dz}{dt} = \frac{dz}{0.8(C-V)}$	$\alpha z$	$Z$	$\frac{h_1}{h_0} = \frac{0.052}{0.023097}$	$\frac{h_2}{h_0} = \frac{0.052}{0.023097}$	$\frac{h_3}{h_0} = \frac{0.052}{0.023097}$	$\frac{dv}{dt} = \frac{dv}{h_0 h_1 h_2}$	$\alpha v$	$\frac{d^2v}{dt^2} = \frac{d^2v}{h_0^2 h_1^2 h_2^2}$
0	1800	0.000	0.144		0.000	0.000	0.001	0.000	0.001		0.016
-	0.001	0.143	0.072	0.004					0.005		
10	-	0.005	0.140	0.043	0.043	0.007			0.008	0.005	
10	-	0.036	0.284				0.003		0.010		0.063
-	0.010	0.280	0.285	0.012					0.017		
20	-	0.022	0.270	0.073	0.023	0.021			0.024	0.017	
80	1620	0.670	0.744		3907	0.095	0.022	0.014	0.205		0.032
-	0.792	0.662	4279	0.214	0.017	0.019	0.012		0.217	0.211	
90	-	0.802	0.574	0.061	4289	0.220	0.013	0.024			
90	1800	0.901	0.719		4518		0.020		0.224		0.004
-	1.013	0.630	4993	0.246	0.015	0.031	0.020		0.230		
100	-	1.131	0.535	0.079	5198	0.260	0.011	0.030	0.233	0.229	
100	-	1.130	0.536		5197						0.224
-	1.247	0.442	5405	0.273	0.008	0.047	0.234				
110	-	1.364	0.349	0.042	5439	0.282	0.005	0.056	0.231	0.233	
120	-	1.570	0.168		5897	0.075	0.001	0.076	0.210		0.220
-	1.780	0.080	5981	0.299	0.000	0.087	0.212				
130	-	1.802	-0.002	0.007	5977	*		0.097	0.202	0.212	
130	-	1.973	"		5979	*			0.109	0.190	0.000
140	-	1.972	-0.154	-0.080	5977	0.295	-0.001	0.119	0.175	0.189	
140	-	1.971			5979						-0.016

表-10.

$t$	$c$	$v$	$\frac{dz}{dt} = \frac{dz}{0.8(C-V)}$	$\alpha z$	$\frac{h_1}{h_0} = \frac{0.052}{0.023097}$	$\frac{h_2}{h_0} = \frac{0.052}{0.023097}$	$\frac{h_3}{h_0} = \frac{0.052}{0.023097}$	$\frac{dv}{dt} = \frac{dv}{h_0 h_1 h_2}$	$\alpha v$	$\frac{d^2v}{dt^2} = \frac{d^2v}{h_0^2 h_1^2 h_2^2}$	
0	2400	1200	0.060		0.064	0.043	0.036	0.043	0.036		0.072
-	1228	0.946	1344	0.007	0.067	0.035	0.044	0.043	0.053		
10	-	1259	0.914	0.042	1810	0.091	0.033	0.047	0.077	0.057	
10	-	1257			1806	0.090			0.076		0.053
-	1295	0.894	2263	0.113	0.031	0.050	0.044	0.074			
20	-	1351	0.039	0.080	2570	0.135	0.028	0.055	0.103	0.093	
80	-	2217	0.046		5719	0.086	0.001	0.147	0.140		0.017
-	2287	0.040	5790	0.298	0.000	0.157	0.133				
90	-	2350	0.040	0.092	5809	*		0.166	0.124	0.133	
90	-	2413	"		5811	0.291			0.125		0.001
100	-	2467	-0.054	-0.009	5801	0.290			0.175	0.117	
100	-	2467			5802				0.183	0.107	0.017
100	-	2467			5802						-0.002

### 3. 差動調圧水槽

#### 1. 設計上の注意

本書に於ては設計に就て述べるのは主眼ではないが、次の事項に就て一般の注意を喚起したいと思ふのである。

(i) 負荷増加の場合にライザー及び水槽の最低水位が略一致する様に制水孔の大きさを定める。

(ii) 負荷遮断の場合には少くともライザーの溢流頂と水槽の最高水位が一致する様にライザーの高さを選び、出来得ればライザー及び水槽の最高水位を略一致せしめる。

(iii) 水槽の大きさを變へて (i) 及び (ii) の計算を行ひ地形、地質、材料等を観合せて最も經濟的なものを選定する。

圖-9 は概略的な水位關係を示したものである。

#### 2. 負荷増加の場合の計算式

$$\frac{dZ_r}{dt} = \frac{f}{f_r}(c + c_t - v), \quad \frac{dv}{dt} = \frac{g}{l}(Z_r - h),$$

$$h = \pm \alpha v^2, \quad \frac{dZ_t}{dt} = -\frac{f}{F} c_t,$$

$$c_t = \pm \sqrt{\frac{v_0^2}{k_0}} \sqrt{Z_r - Z_t} \quad \dots \dots (14)$$

$Z_r$ : 取水口水位を基準とするライザーの水位で下を正の方向とする,  $f$ : 導水路の流積,  $f_r$ : ライザーの断面積,  $c$ : 水壓管路内流量を  $f$  で割つたもの,  $c_t$ : 制水孔流量を  $f$  で割つたもので水槽へ流入する場合に正符号とする,  $v$ : 導水路内の流速,  $l$ : 導水路の長さ,  $h$ : 導水路内の損失水頭で粗度係数を  $n=0.016$  とし他に取水口等に於ける損失をも見込んで定めりと同符号にする,  $\alpha$ : 損失係数,  $Z_t$ : 取水口水位を基準とする水槽水位で下を正の方向とする,  $k_0$ : 最大流速  $v_0$  に就て求められる制水孔の損失水頭

差動調圧水槽ではライザーの水位が一定極限に達すると一般に  $dZ_r=0$  になる。式 (14) で  $dZ_r=0$  とす

圖-8. 制水孔調圧水槽水位流速曲線

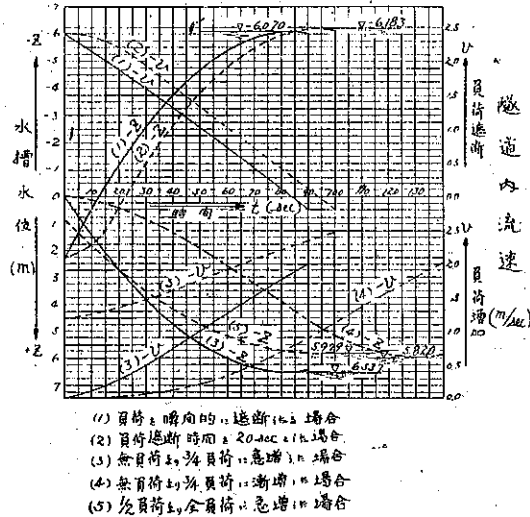
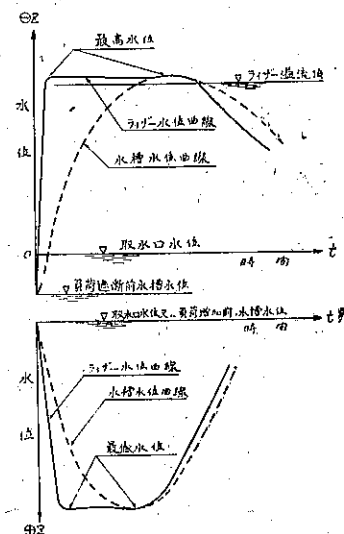


圖-9. 差動調圧水槽標準水位曲線



ると(15)式が得られる。(15)式では  $dt$  を大きく取ることが出来るので相當に労力節減になる。(14)式と(15)式の変換は  $z_r$  の同時刻に於ける差が 0.010 m 以内で治まる様にする。

$$\frac{dZ_t}{dt} = \frac{f}{F}(c-v), \quad Z_r = Z_t + k, \quad k = \pm \frac{k_0}{\gamma_0^2}(c-v)^2,$$

$$\frac{dv}{dt} = \frac{g}{l}(Z_r - h), \quad h = \pm \alpha v^2 \quad \dots \dots \dots \quad (15)$$

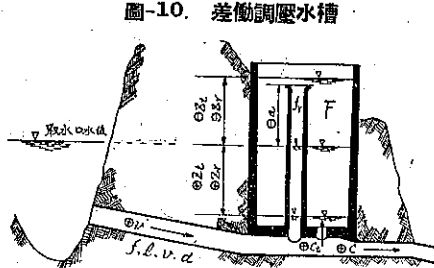


圖-10. 差動調壓水槽

次に  $Z_t$  が  $Z_r$  に接近してくると  $dZ_r \neq dZ_t$  と考へられる様になるから  $dZ_r = dZ_t$  として (14) 式から求めた (16) 式を利用する。此の場合も前と同様に  $Z_r$  の同時刻に於ける差が 0.010 m 以内になる様にする。

$$\frac{dZ_t}{dt} = \frac{f}{F+f_r}(c-v), \quad Z_r = Z_t + k, \quad k = \pm \frac{k_0}{v_0^2} \left[ \frac{F}{F+f_r}(c-v) \right]^2,$$

負荷の變化があつてから一度  $Z_r = Z_t$  になると其の後は  $dZ_r \neq dZ_t$  の関係が持続するものと見做しても大差がないから (16) 式で最後まで計算するのが普通である。

差動調圧水槽ではライザーの水位変化が鋭敏であるから  $dt$  は初めに 2 sec 以下、次いで 5 sec, 10 sec とせねばならぬ。

[例 7]  $\frac{f}{f_r} = 1.25$ ,  $\frac{g}{l} = 0.005$ ,  $\alpha = 0.6$ ,  $\frac{f}{F} = 0.1$ ,  $\sqrt{\frac{v_e^2}{k_0}} = \sqrt{0.5} = 0.7071$ ,  $v_e = 2.4$ ,  $\frac{f}{F+f_r} = 0.09259$ ,  $\frac{F}{F+f_r} = 0.90741$

$= 0.9259$ ,  $\frac{k_0}{v_{0^2}} = 2$  として負荷増加の

場合を計算せよ。

(i) 無負荷より 3/4 負荷に急増し

$$v_0 = 2.4 \times \frac{3}{4} = 1.8,$$

$$k^{-1} = 2 \times 1.8^2 = 6.48$$

$$b^{-1} = 0.6 \times 1.8^2 = 1.944$$

$$k_s = 2 \times 24^2 = 1152$$

$$L_1 = 0.6 \times 2.4^2 = 3.456$$

$dt$  は撮合に随じて 3.5-10 sec. に選

不計算)を(表-11・表-12)

表-11

$t$	$C$	$\frac{d^2\mathbf{z}}{dt^2} \cdot \mathbf{z}_t$	$\mathbf{v}$	$d\mathbf{z}_t =$ $75(\mathbf{G} - \mathbf{G}_0)$	$\mathbf{z}_{\mathbf{G}}$	$\mathbf{z}_t$	$\mathbf{f}_1 =$ $0.01 \mathbf{z}_t$	$\mathbf{f}_2 =$ $0.0005 \mathbf{z}^2$	$d\mathbf{v} =$ $\mathbf{f}_1 - \mathbf{f}_2$	$d\mathbf{v}$	$d\mathbf{z}_t =$ $-0.2 \mathbf{z}_t$	$d\mathbf{z}_t$	$\mathbf{z}_t$	
0	1800	0.000	0.000	4800		0.000	0.000	0.000	0.000	0.000	0.000	0.000	0.000	
2	*	-1051	0.003	1848	2250	0.073	*	0.023	0.016	0.016	0.016	0.015	0.012	
4	*	-8904	0.003	2185	2395	1848	0.018	*	0.018	0.016	0.016	0.015	0.012	
6	*	-1105	0.016	1698	2595	0.026	*	0.026	0.026	0.0221	0.0221	0.0151	0.0151	
8	*	-1261	0.029	1275	3468	0.031	*	0.031	0.031	0.0256	0.0256	0.0161	0.0161	
10	*	-1317	0.050	1653	1333	3870	0.059	*	0.039	0.033	0.0283	0.0287	0.0403	0.0403
12	*	-1360	0.058	2025	6119	0.061	0.001	0.060	0.060	0.072	0.072	0.0498	0.0498	
14	*	-1336	0.048	-0.010	6122	*	*	*	*	0.0267	0.0267	0.0254	0.0254	
16	*	-1308	0.040	-0.015	-0.008	6109	*	*	*	0.060	0.060	0.0685	0.0685	
$t$	$C$	$\frac{d^2\mathbf{z}}{dt^2} \cdot \mathbf{z}_t$	$\mathbf{v}$	$d\mathbf{z}_t =$ $75(\mathbf{G} - \mathbf{G}_0)$	$\mathbf{z}_{\mathbf{G}}$	$\mathbf{z}_t$	$\mathbf{f}_1 =$ $0.025 \mathbf{z}_t$	$\mathbf{f}_2 =$ $0.0105 \mathbf{z}^2$	$d\mathbf{v} =$ $\mathbf{f}_1 - \mathbf{f}_2$	$d\mathbf{v}$	$d\mathbf{z}_t =$ $-0.5 \mathbf{z}_t$	$d\mathbf{z}_t$	$\mathbf{z}_t$	
20	1800	-1309	0.058	-0.044	6111	0.153	0.008	0.049	0.049	0.055	0.055	0.0685	0.0685	
25	*	-1240	0.073	-0.091	6089	0.152	0.005	0.047	0.047	0.0620	0.0620	0.0303	0.0303	
30	*	-1167	0.045	-0.075	-0.007	6070	0.151	0.006	0.045	0.047	0.0584	0.0584	0.0303	0.0303
35	*	-1077	1183	-0.000	5842	0.146	0.021	0.025	0.025	0.0492	0.0492	0.0480	0.0480	
40	*	-0551	1246	0.019	*	"	0.023	0.023	0.023	0.026	0.026	0.0276	0.0276	
45	*	-0.002	1306	-0.050	-0.003	5861	0.147	0.026	0.021	0.023	0.023	0.0251	0.0251	
50	*	*	1306	*	*	5859	*	*	*	0.0278	0.0278	0.0266	0.0266	

$t=16\text{ sec}$  に対する  $Z_0$  は 6.099 である。

$$Zr_{\text{max}} = 6.119 + \frac{(6.111 - 6.099)^2}{8(2 \times 6.119 - 6.111 - 6.099)} = 6.120$$

$$Z_{t+max} = 5.886 + \frac{(5.836 - 5.733)^2}{8(2 \times 5.886 - 5.836 - 5.733)} = 5.893$$

$t=50\text{ sec}$  以後は(15)式を用ひた。 $t=80\text{ sec}$

以後を計算するには  $t=80 \text{ sec}$  附近で (16) 式に變更して計算を進める。

(ii) 無負荷より 3/4 負荷に漸増した場合

例 6 の時と同様に 10 段に區切つて急増するものと假定した。此の場合の様に負荷の變化率が割合に小さいと初めから (16) 式に依つて計算を續ける。之は  $dl$  を相當に小さくしても不規則になつて (14) 式に依る計算は困難になるからである (表-13)。

$$Z_{t \rightarrow \max} = 5.655 + \frac{(5.624 - 5.508)^2}{8(2 \times 5.655 - 5.624 - 5.508)}$$

= 5,664

(ii) 1/2 負荷より全負荷に急増した場合  
(表-14, 表-15)。

$$Z_t \cdot w_{\max} = 5.557$$

$$+ \frac{(5.478 - 5.556)^2}{8(2 \times 5.557 - 5.478 - 5.556)} = 5.567$$

以上の結果 圖-11 が出来た。負荷のかぶり方と水位の状況が分つたのであるが負荷のかけ方は色々あつて中には無負荷から全負荷に急増するものと考へる場合もあるが概して 圖-11 の様になるのが理想に近いものと思はれる。

(ii) の中では  $dt$  が 2 sec, 5 sec, 2 sec 及び 10 sec となつて甚だ奇妙に見えるが之は  $4\pi r$  の不規則になるのを避けたからであつて,  $dt$  は  $4\pi r$  が規則的に圓滑に増減する様に選ばねばならぬのである。

### 3. 負荷遮断の場合の計算式

負荷遮断の場合は少し複雑であるから図-12に示した6つの状況に分けて考へる。 $|Z_{t,\max}| \leq |a|$  の場合には図-12の(3),(4)及び(5)が省略出来るから計算は非常に簡単になるが不

表-12

<i>t</i>	<i>C</i>	<i>V</i>	$\frac{dV}{dt} =$ $C - V'$	$\frac{dC}{dt}$	$Z_t$	$\frac{f_t}{Z_t} =$ $\frac{Z_t - Z_{t-1}}{Z_t + A}$	$Z_{t-1}$	$\frac{A_t}{Z_t} =$ $\frac{A_t}{0.05 Z_t}$	$A_t =$ $\frac{A_t}{0.05 Z_t^2}$	$\frac{C_t}{Z_t}$	$\frac{C_t}{Z_t - Z_{t-1}}$	$\Delta V'$
50	1800	1366	0.494	-	5358	0.038	5346	0.029	0.051	0.241	-	-
	"	1427	0.373	-	5005	0.028	5083	0.024	0.061	0.233	-	-
60	"	1339	0.261	0.375	5711	0.136	5867	0.093	0.171	0.222	-	-
	"	1530	0.282	-	5733	0.137	5870	0.094	"	0.223	-	-
70	"	1650	0.150	-	5864	0.045	5909	0.045	0.082	0.112	-	-
	"	1751	0.049	0.153	5883	0.045	5888	0.044	0.092	0.202	-	-
70	"	"	"	-	5886	"	5891	0.045	"	0.203	-	-
	"	1833	-0.053	-	5911	-0.006	5905	"	0.103	0.192	-	-
80	"	1743	-0.443	-0.050	5833	-0.001	5792	0.090	0.113	0.177	-	-
	"	1942	-0.142	-	4834	-0.040	4795	-	-	-	-	-

表-13

<i>t</i>	<i>C</i>	<i>V</i>	$d^2c =$ 0.07539(6-3)	$\partial Z_t$	$Z_t$	$A - \frac{\partial Z_t}{\partial (C-V)^2}$	$Z_t =$ $Z_t + A$	$\frac{\partial A}{\partial Z_t}$ 0.05 Z <sub>t</sub>	$A -$ $\frac{\partial Z_t}{\partial Z_t - 3V^2}$	$dV =$ $A - A_t$	$\partial V$
0	0.089	0.000	0.067		0.000	0.056	0.056	0.003	0.000	0.003	
	-	0.002	0.065		0.004	0.054	0.138	0.007	"	0.007	0.007
10	-	0.007	0.160	0.064	0.015	0.051	0.216	0.011	"	0.011	0.007
	0.360	"	0.323		0.168	0.214	0.378	0.019	"	0.019	
20	-	0.077	0.318		0.316	0.202	0.528	0.026	"	0.026	0.026
	-	0.033	0.303	0.316	0.082	0.183	0.665	0.033	"	0.033	0.026
30	1.000	1.005	0.682		0.463	0.877	0.590	0.275	0.035	0.240	
	-	1.005	0.651		0.494	0.877	0.551	0.270	0.044	0.234	
100	-	1.374	0.645	0.532	0.164	0.397	0.561	"	0.052	0.226	0.234
	-	"	"		0.165	"	0.562	"	"	"	"
110	-	1.632	0.341		0.588	0.232	0.560	0.281	0.062	0.219	
	-	1.539	0.243	0.363	0.506	0.118	0.564	"	0.071	0.210	0.219
118	-	"	"		0.508	"	0.526	"	"	"	"
	-	1.643	0.105		0.530	0.042	0.572	0.284	0.081	0.205	
120	-	1.701	0.055	0.117	0.503	0.006	0.589	0.283	0.091	0.192	0.202
	-	"	"		0.505	"	0.581	"	"	"	"
120	-	1.740	0.056		0.535	"	0.561	"	"	"	"
	-	1.836	0.033		0.583	-0.002	0.581	0.284	0.101	0.183	
130	-	1.923	0.114	-0.031	0.522	-0.026	0.556	0.280	0.111	0.189	0.182
	-	"	"		0.520	"	0.559	"	"	"	"

表-14

表-15.

$t$	$c$	$v$	$\frac{dZ_t}{dt} = \frac{\partial Z_t}{\partial t} + cV$	$dZ_t$	$Z_t$	$\frac{f_r}{c} = \frac{f}{f_r}$	$Z_{tr} = Z_t + h$	$\frac{dZ_r}{dt} = \frac{\partial Z_r}{\partial t} + c_r V$	$dZ_r$	$Z_r$	$\alpha v^2$
70	2400	2210	0.076		5.838	0.062	5.900	0.075	0.047	0.028	
	2270	0.017			5.826	0.027	5.853	0.070	0.055	0.023	
80	2333	0.082	0.018		5.855	-	5.663		0.163	0.115	0.022
90	-	2332	0.083		5.856	-	5.664	-			
	2444	-0.013			5.858	0.000	5.688	0.079	0.175	0.004	
100	-	2436	0.023	0.001	5.843	-0.002	5.641	0.077	0.178	0.009	0.006
70	-	2428	-0.025		5.857	-	5.655	0.078	-	0.000	
	2430	-0.081	-0.013		5.839	-0.013	5.826	0.076	0.186	0.000	
100	-	2325	-0.119	-0.079	5.776	-0.020	5.848	0.072	0.192	0.000	0.000
100	-	2528	-		5.878	-	5.850	-	-	-	

經濟な設計と考へられる。

### (1) 図-12 (1) の場合

(14) 式と全く同一のものでよいが、(14) 式は次の (17) 式の特別の場合であるから (17) 式を初めから用ひる。

### (2) 図-12 (2) の場合

$$\frac{dZ_r}{dt} = \frac{f}{f_r}(c + c_l + c_u - v), \quad \frac{dv}{dt} = \frac{g}{l}(Z_r - h), \\ h = \alpha v^2,$$

$$\frac{dZ_t}{dt} = -\frac{f}{F}(c_l + c_u), \quad c_l = \sqrt{\frac{v_0^2}{k_0}} \sqrt{Z_t - Z_r},$$

$$c_u = \frac{2b}{f} (a - Z_r)^{3/2} \quad \dots \dots \dots \quad (17)$$

$c_u$ : ライザーからの溢流水量を  $f$  で割つたもの、 $b$ : 溢流頂の長さ、 $a$ : 取水口水位を基準とした溢流頂の高さを示すもので負符號になる。

ライザーの水位が極値を過ぎると  $dZ_r = 0$  から導いた (18) 式を用ひる。

$$\frac{dZ_t}{dt} = -\frac{f}{F}(v - c), \quad c_l = \sqrt{\frac{v_0^2}{k_0}} \sqrt{Z_t - Z_r}, \quad c_u = v - c - c_l,$$

$$Z_r = a - \left(\frac{f}{2b} c_u\right)^{2/3}, \quad \frac{dv}{dt} = \frac{g}{l}(Z_r - h), \quad h = \alpha v^2 \quad \dots \dots \dots \quad (18)$$

(18) 式では  $Z_r$  を試算で求めねばならぬが  $dt$  を大きくすることが出来るから労力が省ける。(18) 式が使へるのは  $dZ_r = 0$  なのであるから上段の數値を参考にして割合簡単に  $Z_r$  が求められる。

### (3) 図-12 (3) の場合

$dZ_r = 0$  とし不完全溢流の公式を用ひて (19) 式を得る。

$$\frac{dZ_t}{dt} = -\frac{f}{F}(v - c), \quad \frac{dv}{dt} = \frac{g}{l}(Z_r - h), \quad h = \alpha v^2,$$

$$\sqrt{Z_t - Z_r} \left[ \sqrt{\frac{v_0^2}{k_0}} + \frac{3b}{f} (a - Z_t) + \frac{2b}{f} (Z_t - Z_r) \right] - (v - c) = 0 \quad \dots \dots \dots \quad (19)$$

(19) 式でも  $Z_r$  は試算で求めねばならぬ。一般に試算を行ふ場合に最も有效な方法としては次の (20) 式が擧げ

図-11. 差動調壓及水槽水位流速曲線

其の 1 負荷を増加した場合

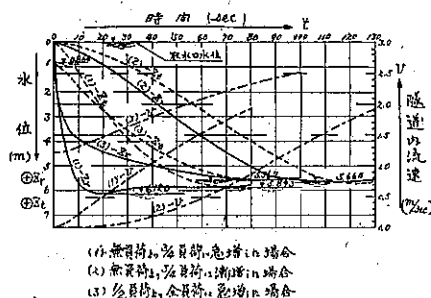
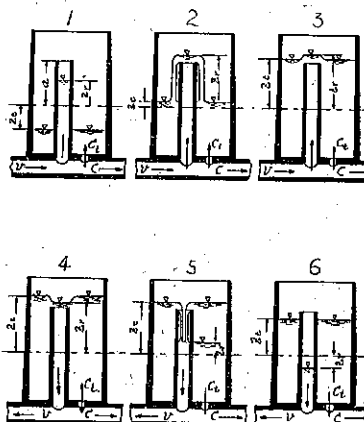


図-12. 差動調壓水槽負荷遮断の際の水位



られる。之は  $\Phi(Z)=0$  の根を求めるには先づ初めに  $Z_1, Z_2$  なる近似根を想定して其の剩餘  $a_1=\Phi(Z_1), a_2=\Phi(Z_2)$  を計算すると一層近似度の高い根  $Z_3$  は

$$Z_3 = \frac{a_1 Z_2 - a_2 Z_1}{a_1 - a_2}, \quad a_1 = \Phi(Z_1), \quad a_2 = \Phi(Z_2) \dots \dots \dots (20)$$

で求められる。此の場合  $a_1, a_2$  は  $Z$  等の値よりも二桁位有效數字を多くしておく方がよいし、 $a_1$  と  $a_2$  が異符号である方が一層有效である。

(19) 式の使用範囲は一般に少なく  $dZ_r=dZ_t$  と考へる方がよくなるから  $dZ_r=dZ_t$  として求めた (21) 式を用ひる。

$$\begin{aligned} \frac{dZ_t}{dt} &= -\frac{f}{F+f_r}(v-c), \quad \frac{dv}{dt} = \frac{g}{l}(Z_r-h), \quad h=\alpha v^2, \\ \sqrt{Z_r-Z_t} &\left[ \sqrt{\frac{v_0^2}{k_0} + \frac{3b}{f}(a-Z_t) + \frac{2b}{f}(Z_r-Z_t)} \right] - \frac{F}{F+f_r}(v-c) = 0 \dots \dots \dots (21) \end{aligned}$$

#### (4) 圖-12 (4) の場合

(21) 式は  $|Z_r| \geq |Z_t|$  の場合の式であるから  $|Z_r| \leq |Z_t|$  になると (22) 式を用ひる。

$$\begin{aligned} \frac{dZ_t}{dt} &= \frac{f}{F+f_r}(c-v), \quad \frac{dv}{dt} = \frac{g}{l}(Z_r-h), \quad h=-\alpha v^2, \\ \sqrt{Z_r-Z_t} &\left[ \sqrt{\frac{v_0^2}{k_0} + \frac{3b}{f}(a-Z_r) + \frac{2b}{f}(Z_r-Z_t)} \right] + \frac{F}{F+f_r}(v-c) = 0 \dots \dots \dots (22) \end{aligned}$$

#### (5) 圖-12 (5) の場合

ライザーの水位が溢流頂よりも下降すると (23) 式を用ひる。

$$\begin{aligned} \frac{dZ_t}{dt} &= \frac{f}{F+f_r}(c-v), \quad \frac{dv}{dt} = \frac{g}{l}(Z_r-h), \quad h=-\alpha v^2, \\ Z_r &= Z_t + \frac{k_0}{v_0^2} \left[ \frac{2b}{f}(a-Z_t)^{3/2} + \frac{F}{F+f_r}(v-c) \right]^2 \dots \dots \dots (23) \end{aligned}$$

#### (6) 圖-12 (6) の場合

水槽水位も溢流頂より下降すると (24) 式を用ひる。

$$\begin{aligned} \frac{dZ_t}{dt} &= \frac{f}{F+f_r}(c-v), \quad Z_r = Z_t \pm \frac{k_0}{v_0^2} \left[ \frac{F}{F+f_r}(c-v) \right]^2, \\ \frac{dv}{dt} &= \frac{g}{l}(Z_r-h), \quad h=\mp\alpha v^2 \dots \dots \dots (24) \end{aligned}$$

(24) 式で正負の符號を附けたのは水位上昇の場合も加へたのであつて、 $Z_{t,\max}$  さへ分れば後は多少誤差が残るまでも構はないので (24) 式を最後まで用ひるからである。

以上で一通り終つたのであるが尙遮斷に時間を要する場合も考へねばならぬ。負荷の変化が少ないと (17) 式は使へないので初めから (24) 式を用ひねばならぬ。ライザーから溢流を始ると (25) 式を用ひる。

$$\begin{aligned} \frac{dZ_t}{dt} &= -\frac{f}{F+f_r}(v-c), \quad \frac{dv}{dt} = \frac{g}{l}(Z_r-h), \quad h=\alpha v^2, \\ \sqrt{\frac{v_0^2}{k_0}} \sqrt{Z_r-Z_t} + \frac{2b}{f}(a-Z_r)^{3/2} &- \frac{F}{F+f_r}(v-c) = 0 \dots \dots \dots (25) \end{aligned}$$

$Z_r$  が極限を越せば  $dZ_r=0$  となるから (25) 式で  $f_r=0$  とした (26) 式を用ひる。

$$\frac{dZ_t}{dt} = -(v - c), \quad \frac{dv}{dt} = \frac{g}{l}(Z_r - h), \quad h = \alpha v^2,$$

$$\sqrt{\frac{v_0^2}{k_0}} \sqrt{Z_r - Z_r + \frac{2b}{f}} (a - Z_r)^{3/2} - (v - c) = 0 \quad \dots \dots \dots (26)$$

水槽水位が溢流頂よりも上昇すると前述の(21)式を用ひることになり、之以下は急遮断の場合と同様になる。

【例 8】  $\frac{f}{f_r} = 1.25$ ,  $\frac{g}{l} = 0.005$ ,  $\alpha = 0.4$ ,  $\frac{f}{F} = 0.1$ ,  $\sqrt{\frac{v_0^2}{k_0}} = \sqrt{\frac{1}{3}} = 0.5774$ ,  $v_0 = 2.4$ ,  $\frac{f}{F+f_r} = 0.09259$ ,  $\frac{F}{F+f_r} = 0.9259$ ,  $\frac{k_0}{v_0^2} = 3$ ,  $a = -5.5$ , として負荷遮断の場合を計算せよ。

#### (i) 瞬間に遮断した場合

$dt$  は状況に応じ 1, 0.5, 3, 10 sec に選んだ。此の中で 3 sec は  $t$  を 10 sec 毎に調整するためである(表-16)。

表-16.

$t$	$\frac{G=8574}{\sqrt{Z_r - Z_t}}$	$C_d = 25$ $\frac{1}{\sqrt{Z_r - Z_t}} \frac{1}{(55-Z_t)^{3/2}}$	$v$	$\frac{dZ_t}{dt} = \frac{1}{(55-Z_t)^{3/2}}$	$dZ_r$	$Z_r$	$A_r = \frac{0.00587}{0.00252}$	$F_r = \frac{0.0002V^2}{0.00252}$	$\frac{dv}{dt} = \frac{g}{l} - F_r$	$dv$	$\frac{dZ_t}{dt} = \frac{1}{(55-Z_t)^{3/2}}$	$\Delta Z_t$	$Z_t$	
0	0000	0000	2400	-3000		2304	0012	0012	0000		0000	-0077	"	2304
1	0707	"	2392	-2116	0884	0004	0003	-0003	-0010	-0007	-0083	-0056	2233	
4	1800	"	2324	-1105	-4334	-0022	"	-0033	"	-0020	-0035	-0044	1805	
5	1895	"	2307	-1015	-4897	-0024	-0035	-0035	-0027	-0010	-0035	-0154	1813	
5.5	1837	"	2289	-0960	-5349	-0027	-0035	-0035	-0027	-0003	-0035	-0150	1735	
$t$	$G=8574$ $\frac{1}{\sqrt{Z_r - Z_t}} \frac{1}{(55-Z_t)^{3/2}}$	$C_d = 25$ $\frac{1}{\sqrt{Z_r - Z_t}} \frac{1}{(55-Z_t)^{3/2}}$	$v$	$dZ_t = \frac{1}{(55-Z_t)^{3/2}}$	$dZ_r$	$Z_r$	$A_r = \frac{0.00252}{0.0002V^2}$	$F_r = \frac{0.0002V^2}{0.00252}$	$\frac{dv}{dt} = \frac{g}{l} - F_r$	$dv$	$\frac{dZ_t}{dt} = \frac{1}{(55-Z_t)^{3/2}}$	$\Delta Z_t$	$Z_t$	
50	1537	0000	2289	-0470	-5353	-0013	0005	-0018	"	-0019	-0019	-0077	1735	
55	1582	0005	2280	-0411	-5569	-0014	"	-0019	"	-0019	-0096	-0081	1876	
55	1573	0339	2270	-0224	-5764	"	"	"	-0019	-0020	-0020	-0084	1654	
60	1574	0579	2250	-0061	-5877	-0015	"	-0020	"	-0020	-0108	-0111	1580	
65	1571	0652	2240	-0071	-5908	"	"	"	"	-0020	-0108	-0111	1486	
65	1563	0604	2230	-0039	-5888	"	"	"	-0020	-0108	-0110	-0110	1439	
65	1565	0652	"	-0008	-5908	"	"	"	"	-0020	-0111	-0111	1440	
70	1560	0661	2210	0001	-5912	"	"	"	"	-0020	-0110	-0111	1388	
70	1553	0649	2210	-0005	-5907	"	"	"	-0020	-0110	-0111	-0111	1329	
$t$	$\frac{dZ_t}{dt} = \frac{1}{(55-Z_t)^{3/2}}$	$v$	$\frac{G=8574}{\sqrt{Z_r - Z_t}}$	$\frac{1}{\sqrt{Z_r - Z_t}} \frac{1}{(55-Z_t)^{3/2}}$	$Z_r$	$C_d = 25$ $\frac{1}{\sqrt{Z_r - Z_t}} \frac{1}{(55-Z_t)^{3/2}}$	$A_r = \frac{0.00587}{0.00252}$	$Z_r = \frac{0.00252}{0.0002V^2}$	$F_r = \frac{0.0002V^2}{0.00252}$	$\frac{dv}{dt} = \frac{g}{l} - F_r$	$dv$	$\frac{dZ_t}{dt} = \frac{1}{(55-Z_t)^{3/2}}$	$\Delta Z_t$	$Z_t$
7	2210	-0663		1329	1554	0656	0410	-5710	-0089	0029	-0018	"		
7	2151	-0645		0977	1516	0635	0401	-5901	"	0028	-0117			
10	2073	-0623	-0645	0804	1461	0612	0391	-5891	-0088	0026	-0114	-0117		
$t$	$v$	$\frac{dZ_t}{dt} = \frac{1}{(55-Z_t)^{3/2}}$	$Z_r$	$C_d = 8574$ $\frac{1}{\sqrt{Z_r - Z_t}} \frac{1}{(55-Z_t)^{3/2}}$	$Z_t$	$A_r = \frac{0.00587}{0.00252}$	$Z_r = \frac{0.00252}{0.0002V^2}$	$F_r = \frac{0.0002V^2}{0.00252}$	$\frac{dv}{dt} = \frac{g}{l} - F_r$	$dv$	$\frac{dZ_t}{dt} = \frac{1}{(55-Z_t)^{3/2}}$	$\Delta Z_t$	$Z_t$	
10	2093	-2093		0584	1481	0612	0391	-5891	-0095	0008	-0383			
10	1901	-1901		-0353	1354	0547	0583	-5863	-0073	0072	-0365			
20	1723	-1723	-1906	-1217	1241	0487	4336	-5836	-0292	0060	-0352	-0356		
50	0765	-0765		-4918	0515	0250	0218	-5715	-0286	0012	-0298			
60	0816	-0816		-5341	0371	0245	0213	-5713	"	0008	-0294			
60	0471	-0471	-0617	-5334	"	-0073	-0073	-5708	-0285	0004	-0294	-0294		
60	"	"		-5335	"	"	"	"	"	"	"			
70	0326	-0326	-0326	-5771	"	"	"	-5803	-0290	0002	-0292			
70	0179	-0179	-0326	-5861	"	"	"	-5859	-0293	0001	-0294	-0294		
70	"	"		-5875	"	"	"	"	"	"	"			
80	0032	-0030	0110	-5751	"	-0073	-0073	-5890	-0295	"	-0295			
80	-0119	0110	-0032	-5891	"	-0073	-0073	-5889	-0291	-0001	-0290			
80	-0117	0108		-5893	"	"	"	-5870	-0295	"	-0295			
80	-0165	0245		-5839	"	"	"	-5815	-0291	-0001	-0290			
90	-0007	0377	0244	-5649	"	-0073	-0073	-5812	-0294	-0003	-0271	-0287		
$t$	$v$	$\frac{dZ_t}{dt} = \frac{1}{(55-Z_t)^{3/2}}$	$Z_r$	$A_r = \frac{0.00587}{0.00252}$	$Z_t$	$dZ_t = \frac{1}{(55-Z_t)^{3/2}}$	$f_r = \frac{g}{l}$	$Z_r = \frac{g}{l} + f_r$	$A_r = \frac{0.00587}{0.00252}$	$\frac{dv}{dt} = \frac{g}{l} - F_r$	$dv$	$\frac{dZ_t}{dt} = \frac{1}{(55-Z_t)^{3/2}}$	$\Delta Z_t$	$Z_t$
90	-0494	0374		-5149	"	-0540	-0540	-5490	-0075	-0003	-0274			
90	-0540	0500		-5482	-0500	0750	-4712	-5036	-0005	-0230				
100	-0634	0587	0190	-5149	-0507	1034	-4115	-5206	-0008	-0198	-0233			
110	-0890	0741		-4486	-0741	1647	-2839	-4142	-0013	-0129				
110	-0885	0801		-4116	-0801	1926	-2190	-4110	-0015	-0095				
120	-0895	0829	0793	-3605	-0829	2082	-1623	-4081	-0016	-0065	-0096			
120	-0896	0830		-3693	-0830	2057	-1826							

$$Z_{r,\max} = -5.908 = \frac{(5.910 - 5.877)^2}{8(2 \times 5.908 - 5.910 - 5.877)} = -5.913$$

$$Z_{t,\max} = -5.861 = \frac{(5.893 - 5.535)^2}{8(2 \times 5.861 - 5.893 - 5.535)} = -5.915$$

以上の結果は 図-13 に示した様に殆ん

ど理想的なものになつた。

(ii) 遮断時間  $t = 20\text{ sec}$ とした場合  
(表-17)。

$Z_r$  は  $t = 20\text{ sec}$  の時に  $-5.811$  である  
から

$$Z_{r,\max} = -5.845$$

$$\frac{(5.818 - 5.811)^2}{8(2 \times 5.845 - 5.818 - 5.811)} = -5.845$$

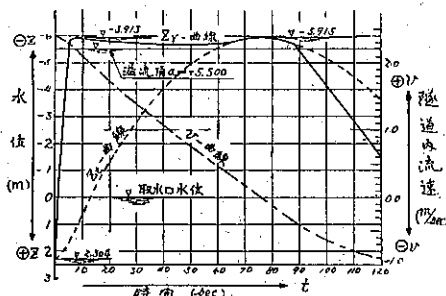
$$Z_{t,\max} = -5.783$$

$$\frac{(5.761 - 5.528)^2}{8(2 \times 5.788 - 5.761 - 5.528)} = -5.807$$

之を図示すると 図-13 になる。圖-13  
及び 図-14 の比較に依つても分る様に遮  
断時間が多少あつても、其の遮断時間の半

図-13. 差動調壓水槽 水位流速曲線

其の2. 負荷を瞬間に遮断した場合



分だけ  $Z_{\max}$  が遅れるのみで  $Z_{\max}$  の量には大した影響を與へないものである。之に反し負荷増加の例では増加時間  $t = 90\text{ sec}$  にもすると  $Z_{\max}$  は相當に減少することを示してゐる。

表-17.

$t$	$c$	$v$	$\frac{dz}{dt} = \frac{dz}{dt} \cdot \frac{dt}{(t-t')}$	$\Delta z$	$Z_t$	$\frac{dZ_t}{dt} = \frac{dZ_t}{dt} \cdot \frac{dt}{(t-t')}$	$\frac{Z_t - Z_r}{dt}$	$\frac{f_r}{A_r} = \frac{f_r}{A_r \cdot Z_r}$	$\frac{f_t}{A_t} = \frac{f_t}{A_t \cdot Z_t}$	$\frac{dv}{dt} = \frac{dv}{dt} \cdot \frac{dt}{(t-t')}$	$A_r - A_t$	$\delta V$	
0	2400	2400	0.000	0	2304	0.000	0.000	2304	0.058	0.058	0.000		
2	2200	-	-0.139	-0.278	2272	-0.032	-0.008	2272	0.052	-	-0.006		
5	1800	2394	-0.275	-0.539	2165	0.050	-0.008	1257	0.031	0.037	-0.026	-0.010	
15	6500	2194	-0.738	-1.476	1476	-0.536	-0.010	-5410	-0.136	0.008	-0.183		
20	6300	2102	-0.524	-1.057	(25)式 使用	-	-	-5887	-0.142	0.044	-0.186		
25	-	-	-0.008	-0.013	(26)式 使用	-	-	-5811	-0.145	0.000	-0.035	-0.005	
30	-	-	-0.026	-0.070	-1070	-	-	-5845	-0.106	0.033	-0.179		
-	-	-	-0.026	-0.070	1082	-	-	-5831	-0.106	0.030	-0.176		
-	-	-	-0.026	-0.070	1082	-	-	-5818	-0.105	0.027	-0.172	-0.076	
$t$	$c$	$v$	$\frac{dz}{dt} = \frac{dz}{dt} \cdot \frac{dt}{(t-t')}$	$\Delta z$	$Z_t$	$C_t$	$f_t$	$Z_r$	$\frac{A_r}{0.05Z_r}$	$\frac{A_t}{0.05Z_t}$	$\frac{dv}{dt} = \frac{dv}{dt} \cdot \frac{dt}{(t-t')}$	$A_r - A_t$	$\delta V$
30	0000	1651	-1651	-	-1483	(26)式 使用	-5818	-0.291	0.055	-0.246			
-	-	1478	-1478	-	-1309	-	-5795	-0.290	0.044	-0.230			
40	-	1317	-1317	-1481	-2961	-	-5789	-0.288	0.035	-0.232			
60	-	0702	-0702	-	-4972	-	-	-5693	-0.285	0.010	-0.095		
-	-	0554	-0554	-	-5373	-	-5689	-0.284	0.006	-0.090			
70	-	0412	-0412	-0556	-5526	(19)式 使用	-5693	-	0.003	-0.007	-0.091		
-	-	0257	-0257	-	-5734	(21)式 使用	-5760	-0.068	0.001	-0.009			
80	-	0122	-0122	-0113	-5775	-	-5780	-0.067	0.000	-	-0.059		
-	-	-	-	-	-5783	-	-5788	-	-	-	-0.052		
90	-	0110	0110	-0.022	-5840	(22)式 使用	-5840	-0.291	-	-	-0.287	-0.090	
-	-	0157	0157	-0.022	-5782	-	-5792	-0.288	-0.001	-0.007	-0.287	-0.090	
90	-	0089	0156	-	-5761	-	-5751	-	-	-	-	-	

図-14. 差動調壓水槽 水位流速曲線

其の3. 負荷を  $20\text{ sec}$  間に遮断した場合

